

# Оптические и рентгеноструктурные исследования многослойных структур на основе твердых растворов InGaN/GaN

© С.О. Усов, А.Ф. Цацульников, Е.Е. Заварин, Р.Н. Кютт, Н.Н. Леденцов

Физико-технический институт им. А.Ф. Иоффе Российской академии наук,  
Санкт-Петербург, Россия

E-mail: S.Usov@mail.ioffe.ru

(Поступила в Редакцию 14 октября 2008 г.  
В окончательной редакции 28 ноября 2008 г.)

Методами фотолюминесценции и рентгеновской дифракции высокого разрешения (HRXRD) проведено исследование многослойных структур на основе соединений  $In_xGa_{1-x}N/GaN$ , выращенных методом газофазной эпитаксии из металлогорганических соединений. Разработан способ анализа экспериментальных кривых качания многослойных структур в рамках модели Парратта–Спериози, который позволил определить толщины, период и средний состав слоев  $In_xGa_{1-x}N$ , а также деформацию активной области в исследуемых образцах. Локальное содержание индия было определено с использованием теоретической модели, которая описывает энергию излучения как функцию толщин слоев InGaN с учетом энергии квантового ограничения, энергий спонтанной и пьезополяризации и параметров, определенных из HRXRD.

Работа поддержана Российским фондом фундаментальных исследований (проект № 07-02-01246-а) и программой президиума РАН „Квантово-размерныеnanoструктуры“.

PACS: 78.55.-m, 78.67.Hc, 78.55.Cr, 78.67.De, 81.07.St, 61.05.cp, 64.75.Nx

## 1. Введение

В настоящее время наногетероструктуры на основе твердых растворов InGaN/GaN широко используются для создания светодиодов (СД), излучающих в видимом и ультрафиолетовом диапазонах. Согласно современным экспертным оценкам [1], световая отдача по мощности СД-структур  $L$  может достигать величины 200 lm/W.

Такая высокая световая отдача СД позволит вытеснить современные традиционные средства освещения, в частности лампы накаливания ( $L = 15 \text{ lm/W}$ ) и флуоресцентные лампы ( $L = 88 \text{ lm/W}$ ). Поэтому повышение эффективности и расширение спектрального диапазона излучения СД является одним из приоритетных направлений в современной технологии наногетероструктур. Наиболее эффективными неразрушающими методами анализа подобных структур являются фотолюминесценция (ФЛ) и рентгеновская дифракция высокого разрешения (HRXRD), которые позволяют получить спектральные характеристики излучения, а также определять состав, толщины (с точностью до 0.1%) и деформации слоев в исследуемых наногетероструктурах на основе материалов GaN, InN, AlN и их твердых растворов.

В настоящей работе проведен анализ образцов с использованием данных, полученных ФЛ и HRXRD в рамках модели, описывающей энергию электронных переходов с учетом энергий квантового ограничения и энергий спонтанной и пьезополяризации. Установлена связь между экспериментальными значениями положений максимумов ФЛ и расчетной энергией перехода с учетом экспериментальных структурных параметров.

## 2. Описание образцов и эксперимента

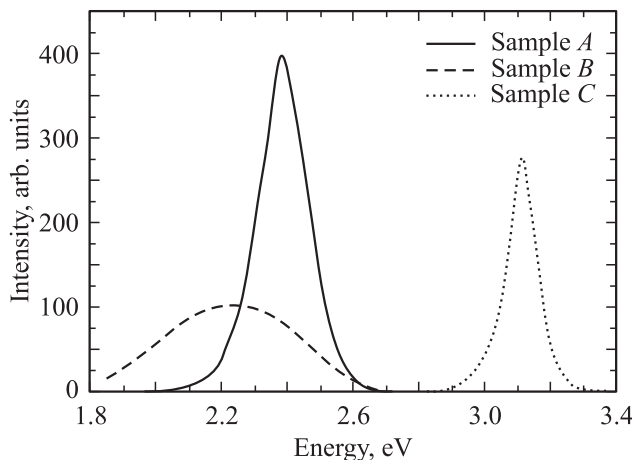
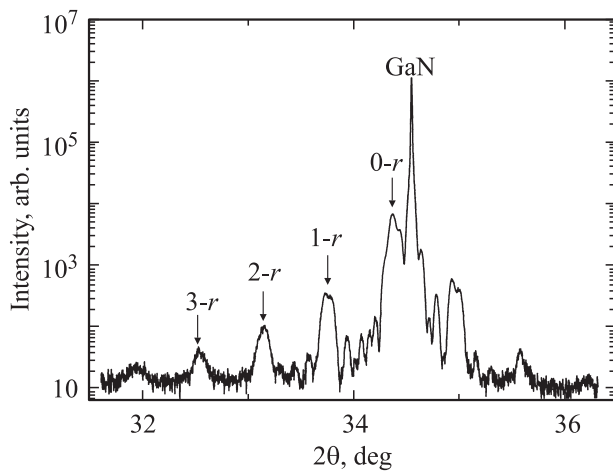
В работе проведены рентгеноструктурные и оптические исследования ряда образцов на основе InGaN/GaN, выращенных методом газофазной эпитаксии из металлогорганических соединений (MOCVD), излучающих в диапазоне от ультрафиолетового до желтого в зависимости от содержания In. Образцы были выращены на сапфировых подложках на установках AIX2000HT и Epiquip VP-50 RP.

Образец A содержит в активной области сверхрешетку (СР) из пяти слоев InGaN (толщиной 2 nm), разделенных барьераами GaN толщиной 8 nm. Температуры роста для четырех слоев InGaN  $T_{QW}$  и барьераов GaN  $T_{bar}$  были выбраны 825 и 925°C, для пятого слоя и барьера  $T_{QW} = 800^\circ\text{C}$  и  $T_{bar} = 900^\circ\text{C}$ . Образец B содержит в активной области пять периодов InGaN, разделенных барьераами GaN  $T_{QW}/T_{bar} = 720/770^\circ\text{C}$ , причем каждый период состоит из двух слоев InGaN с меньшим и большим содержанием In. Образец C был выращен без использования субмонослоиного режима роста [2,3] и состоял из пяти слоев InGaN толщиной 3 nm, разделенных AlGaN-барьераами толщиной 9 nm каждый. Спектры фотолюминесценции были измерены с использованием микроскопа ЛОМО ЛЮМАМ-И2 с объективом  $\times 10$  и диаметром апертуры 50  $\mu\text{m}$  при возбуждении He–Cd-лазером с длиной волны 325  $\mu\text{m}$  [3].

На рис. 1 представлены спектры ФЛ для образцов A, B и C, измеренные при 300 K. Положения максимумов составляют 2.4, 2.21 и 3.12 eV для образцов A, B и C. Дифракционные измерения структуры этих образцов были выполнены на установке BRUKER D8 DISCOVER с использованием  $\text{CuK}_\alpha$ -излучения методом  $\omega - 2\theta$  для

**Таблица 1.** Параметры роста и положения максимумов фотолюминесценции для образцов A, B и C

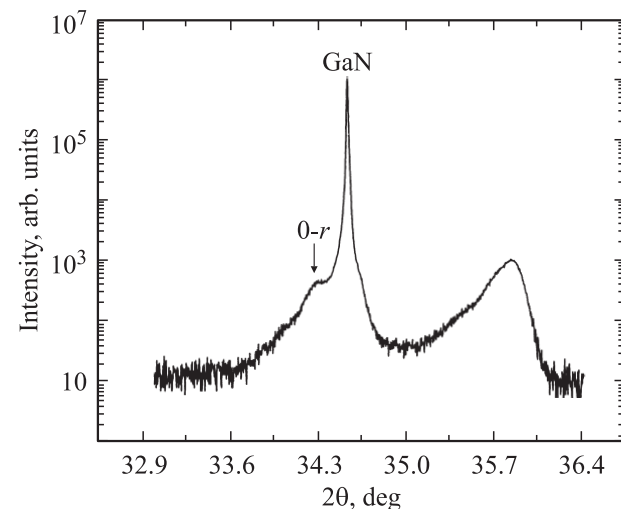
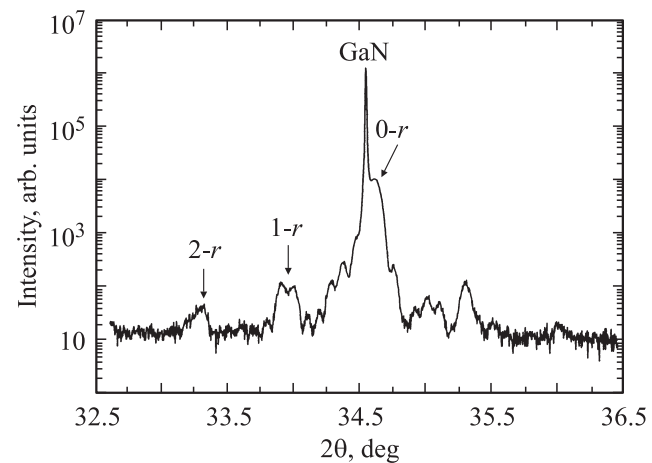
Образец	Параметры роста	Положение максимума ФЛ при комнатной температуре, eV/nm	Диапазон излучения
A	1 КЯ InGaN/GaN, $T_{QW}/T_{barr} = 800/900^\circ\text{C}$ ; 4 КЯ InGaN/GaN, $T_{QW}/T_{barr} = 825/925^\circ\text{C}$	2.4/516.7	Зеленый
B	5 КЯ InGaN/GaN, $T_{QW}/T_{barr} = 720/770^\circ\text{C}$	2.21/561	Желтый
C	5 КЯ InGaN/GaN, $T_{QW}/T_{barr} = 840/940^\circ\text{C}$ , без субмонослоистого режима роста	3.12/396.2	УФ

**Рис. 1.** Экспериментальные спектры фотолюминесценции для образцов A, B и C при температуре 300 К.**Рис. 2.** Экспериментальная кривая качания для образца A, полученная методом HRXRD.

симметричного брэгговского отражения (0002). Экспериментальные угловые зависимости интенсивности (кривые качания) для образцов A, B и C представлены на рис. 2–4 (табл. 1). Кривая качания для образца A, на которой выделены пики буферного слоя GaN и пики сверхструктурных сателлитов от нулевого до третьего порядка

ка включительно, свидетельствует о достаточно высоком качестве слоев и наличии периодичности структуры.

Кривая качания для образца B не имеет характерных пиков осцилляций, обусловленных рефлексами сверхструктурой, что, по-видимому, связано с нарушением периодичности вдоль гексагональной оси *c*, а также

**Рис. 3.** Экспериментальная кривая качания для образца B, полученная методом HRXRD.**Рис. 4.** Экспериментальная кривая качания для образца C, полученная методом HRXRD.

с высокой дефектностью слоев. Для обработки таких экспериментальных кривых качания была разработана программа на основе модели Парратта–Спериози [4,5], которая обеспечивает эффективную первичную обработку дифракционных кривых качания с точностью до 10%.

### 3. Описание модели рентгеновской дифракции для многослойных структур

При анализе дифракционных кривых качания была использована модель дифракции рентгеновских лучей на многослойных периодических структурах [4,5], при этом однородные слои квантовой ямы (КЯ) и барьера описываются толщинами  $t_1$  и  $t_2$ , структурными факторами  $F_1$  и  $F_2$  и компонентами деформации  $\varepsilon_1$  и  $\varepsilon_2$ .

В этой модели предполагается, что эпитаксиальные слои однородны и находятся в кристаллическом состоянии. В рамках данной модели основной задачей является определение постоянных решеток  $a$  и  $c$ , толщин слоев и величин деформаций слоев, а также состава твердых растворов. В общем случае любой слой независимо от симметрии (кубической, тетрагональной или гексагональной) характеризуется двумя параметрами элементарной ячейки, причем для случая кубической элементарной ячейки  $a = c$ . Для полупроводниковых материалов, представляющих собой твердые растворы, параметры решетки зависят от состава твердого раствора и описываются законом Вегарда.

Постоянная решетка вдоль оси  $c$  определяется в соответствии с законом Брэгга в результате обработки экспериментальной кривой качания, измеренной относительно симметричного рефлекса. При анализе кривой качания, снятой относительно несимметричного рефлекса, можно определить постоянную решетки  $a$ .

Введем параметры  $a$  и  $c$  с индексами  $L$  для КЯ и  $B$  для барьера. Предположим, что экспериментальные значения параметров решетки для барьера (толстый слой) совпадают со случаем объемного материала. Для КЯ значения  $a$  и  $c$  вследствие деформации слоев изменяются в интервале от псевдоморфного случая, т. е. при  $a_L = a_B$  и  $c_L = c_B$ , до релаксированного случая при  $a_L = a_L^R$ ,  $c_L = c_L^R$ .

С учетом параметров барьера, которые соответствуют значениям для объемного материала, можно определить деформацию слоя КЯ относительно барьера

$$\frac{\Delta a}{a} = \frac{a_L - a_B}{a_B}, \quad \frac{\Delta c}{c} = \frac{c_L - c_B}{c_B}. \quad (1)$$

Так как изменения постоянной решетки  $\Delta a$  и  $\Delta c$  не являются независимыми, эти изменения можно выразить через компоненты тензора деформации и коэффициенты Пуассона

$$\varepsilon_{xx} = \varepsilon_{yy} = \frac{a_L - a_L^R}{a_L^R}, \quad \varepsilon_{zz} = \frac{c_L - c_L^R}{c_L^R}. \quad (2)$$

В настоящей работе экспериментальные измерения кривых качания были выполнены для симметричного (0002) рефлекса для трех исследуемых образцов  $A$ ,  $B$  и  $C$ . Поэтому дальнейший анализ связан в основном с рассмотрением случая симметричных рефлексов.

Упругая деформация слоев  $In_xGa_{1-x}N$  и  $GaN$  (или  $AlGaN$ ), обозначенных как  $i = 1, 2$  соответственно, определяется следующим образом:

$$\begin{aligned} \varepsilon_{xx}^i &= (a_i^{\exp} - a_i^b)/a_i^b, \\ \varepsilon_{zz}^i &= (c_i^{\exp} - c_i^b)/c_i^b, \end{aligned} \quad (3)$$

где  $c_i^{\exp}$  — постоянная решетки вдоль гексагональной оси, нормальная к плоскости границы раздела слоев КЯ и барьера (интерфейса),  $a_i^{\exp}$  — постоянная решетки, параллельная интерфейсу;  $c_i^b$ ,  $a_i^b$  — те же параметры ненапряженных слоев. Для слоя  $In_xGa_{1-x}N$  эти параметры являются функциями состава, которые описываются в модели Вегарда в виде  $c_i^b = c_i(x)$  и  $a_i^b = a_i(x)$ . Для упругих деформаций связь между деформациями гексагональной решетки определяется уравнение [6–9]

$$\varepsilon_{zz}^i + p(x)\varepsilon_{xx}^i = 0, \quad (4)$$

где  $p(x) = 2c_{13}(x)/c_{33}(x)$  — отношение Пуассона,  $c_{13}(x)$ ,  $c_{33}(x)$  — упругие константы  $In_xGa_{1-x}N$ .

Релаксацию напряжений между слоями обычно характеризуют изменением параметров решетки соседних слоев на гетерогранице или степенью релаксации

$$r_i = (a_i^{\exp} - a_{i+1}^b)/(a_i^b - a_{i+1}^b). \quad (5)$$

Из анализа экспериментальных кривых качания для исследуемых образцов в рамках модели Парратта–Спериози [4,5], описывающей дифракцию рентгеновских лучей на многослойных периодических структурах, были определены следующие параметры: период активной области  $\langle T \rangle$ , толщины слоев  $In_xGa_{1-x}N$  и  $GaN$  в активной области и величина средней деформации активной области относительно буферного слоя  $GaN$ .

Введем величины, связывающие параметры эпитаксиальных слоев и параметры кривой качания, описывающие экспериментальные дифракционные кривые качания для исследуемых образцов,

$$A = \frac{r_e \lambda |F| t}{V \sqrt{|\gamma_0 \gamma_H|}}, \quad (6)$$

$$Y = -\sqrt{\frac{\gamma_0}{|\gamma_H|}} \frac{\pi V \sin(2\theta_B)}{r_e \lambda |F|} (\Delta\omega), \quad (7)$$

где  $r_e$  — радиус электрона,  $\lambda$  — длина волны рентгеновского излучения,  $\gamma_0$  и  $\gamma_H$  — направляющие косинусы падающей и дифрагированной волн,  $\theta_B$  — брэгговский угол. Разница  $\Delta\omega$  между текущим значением  $\theta$  падающего пучка и  $\theta_B$  с учетом деформации дается выражением

$$\begin{aligned} \Delta\omega &= \theta - \theta_B + (\varepsilon^\perp \cos^2 \psi + \varepsilon^\parallel \sin^2 \psi) \operatorname{tg} \theta_B \\ &\pm (\varepsilon^\perp - \varepsilon^\parallel) \sin \psi \cos \psi, \end{aligned} \quad (8)$$

где  $\theta$  — угол падения по отношению к дифрагирующими плоскостям.

Угол падения, равный  $\theta_B - \psi$ , соответствует положительному знаку в выражении (8). Для угла падения, равного  $\theta_B + \psi$ , знак в выражении (8) отрицательный.

Нормированная амплитуда луча, дифрагированного такой многослойной структурой, может быть представлена в виде

$$E_N = i \sqrt{\frac{\gamma_0}{|\gamma_H|}} \sum_{j=1}^N a_j e^{-i(A_j Y_j + \phi_j)} \frac{\sin A_j Y_j}{Y_j}, \quad (9)$$

где

$$a_j = \exp\left(-\mu \frac{\gamma_0 + |\gamma_H|}{2|\gamma_0 \gamma_H|} \sum_{i=j+1}^N t_i\right),$$

$$a_N = 1, \quad \phi_j = 2 \sum_{i=1}^{j-1} A_i Y_i, \quad \phi_1 = 0, \quad (10)$$

$\phi$  — угол между дифракционными плоскостями и поверхностью, каждая плоскость  $j$  имеет свое собственное значение  $A_j$  и  $Y_j$  в соответствии с (6) и (7).

В простейшем случае многослойную структуру можно рассматривать как состоящую из двух слоев  $a$  и  $b$ , каждый из которых имеет свои значения  $A_a$ ,  $Y_a$  и  $A_b$ ,  $Y_b$ . Если пренебречь поглощением, то амплитуда дифрагированного луча для многослойной структуры с числом периодов  $M$  дается выражением

$$E_M = i \sqrt{\frac{\gamma_0}{|\gamma_H|}} e^{-i\beta} F_s \frac{\sin(M(A_a Y_a + A_b Y_b))}{\sin(A_a Y_a + A_b Y_b)}, \quad (11)$$

где

$$\beta \equiv (M-1)(A_a Y_a + A_b Y_b) + A_a Y_a, \quad (12)$$

$$F_s \equiv \frac{\sin A_a Y_a}{Y_a} + e^{-i(A_a Y_a + A_b Y_b)} \frac{\sin A_b Y_b}{Y_b}, \quad (13)$$

$F_s$  — структурный фактор периода многослойной структуры.

Числитель уравнения (13) дает нуль с периодичностью  $\Delta\theta_M$  при выполнении условия

$$M\Delta(A_a Y_a + A_b Y_b) = \pi \quad (14)$$

или

$$\Delta\theta_M = \frac{\lambda |\gamma_H|}{M(t_a + t_b) \sin 2\theta_B}. \quad (15)$$

Используя (13), (6), (7), можно определить полную толщину многослойной структуры  $M(t_a + t_b)$ .

Знаменатель уравнения (13) дает пики при условии

$$A_a Y_a + A_b Y_b = n\pi. \quad (16)$$

Из (16) следует, что пики на дифракционной кривой можно обозначить как  $0, \pm 1, \pm 2$  и т.д. Расстояние между

пиками  $\Delta\theta_P$  позволяет определить период многослойной структуры  $p$

$$p \equiv t_a + t_b = \frac{\lambda |\gamma_H|}{\Delta\theta_P \sin 2\theta_B}. \quad (17)$$

Пик многослойной структуры нулевого порядка находится на расстоянии  $\Delta\theta_0$  от пика буферного слоя, тогда из (16) имеем

$$\Delta\theta_0 = -k_1 \langle \varepsilon^\perp \rangle, \quad (18)$$

где усреднение взято по периоду многослойной структуры.

Амплитуда пика  $n$ -го порядка пропорциональна структурному фактору многослойной структуры, который можно определить из уравнения (16). Тогда для пика  $n$ -го порядка имеем

$$F_{sn} = \frac{\sin A_a Y_{an}}{A_a Y_{an}} \left( A_a + \frac{A_b}{1 - (n\pi/A_a Y_{an})} \right). \quad (19)$$

Поскольку  $Y_{an}$  связано с  $Y_{a0}$  посредством (17) и (7), а выражение (19) зависит только от  $A_a$ ,  $A_b$  и  $Y_{ab}$ , для нулевого пика многослойной структуры при  $n = 0$  выражение (19) сводится к виду

$$F_{s0} = \frac{\sin A_a Y_{a0}}{A_a Y_{a0}} (A_a + A_b) \approx (A_a + A_b), \quad A_a Y_{a0} \ll 1. \quad (20)$$

В соответствии с (20) амплитуда пика нулевого порядка определяется как  $F_a t_a + F_b t_b$ , где  $F_a$  и  $F_b$  — кристаллографические структурные факторы слоев  $a$  и  $b$  соответственно.

Таким образом, значение среднего периода  $\langle T \rangle$  определяется по разности положений максимумов рефлексов активной области, т. е.

$$\begin{aligned} \sum AY &= n\pi, \quad n = 0, 1, 2, \\ \langle T \rangle &= \lambda \frac{|\gamma_H|}{\langle \Delta\theta_P \rangle \sin(2\theta_B)}, \end{aligned} \quad (21)$$

где  $\langle \Delta\theta_P \rangle$  — среднее значение разностей положений максимумов рефлексов активной области.

Определив из (21) среднее значение периода  $\langle T \rangle = t_a + t_b$ , можно рассчитать толщины слоев InGaN ( $t_a$ ) и GaN ( $t_b$ ), зная отношение интенсивностей максимумов нулевого ( $I_0$ ) и первого ( $I_1$ ) рефлексов

$$f_{01} = \sqrt{\frac{I_0}{I_1}}.$$

Используя выражения (20), (6) и (7) и предполагая, что значение  $A_a Y_{an}$  мало, получаем соотношение параметров слоев в активной области и интенсивностей пиков на кривой качания [4,5]

$$\frac{A_a Y_{an}}{n\pi} = \frac{\frac{A_a}{A_b} - \frac{1}{f_{01}-1}}{\frac{A_1}{A_b} + 1}. \quad (22)$$

**Таблица 2.** Параметры, определенные из анализа экспериментальных зависимостей кривых качания для исследуемых образцов

Параметр	Образец		
	A	B	C
Средний период СР $\langle T \rangle$ , нм	15.03	—	14.3
Толщины слоев в СР $t_1, t_2$ , нм	4.16 (3.53)* 10.87 (11.24)*	—	1.6 12.7
Деформация слоя СР относительно буферного слоя GaN	-0.0048	-0.0068	0.0015
Средняя концентрация In, at.%	10.5 (11–18)*	18.5	

Примечание. \* В скобках приведены величины толщины слоев в активной области  $t_1$  и  $t_2$ , а также средняя концентрация индия в  $\text{In}_x\text{Ga}_{1-x}\text{N}$ , определенные из обработки экспериментальных кривых качания с помощью стандартного программного обеспечения LEPTOS.

Величина средней деформации активной области относительно буферного слоя GaN определяется по положениям максимумов рефлексов GaN и нулевого рефлекса  $\Delta\theta_0$

$$-\Delta\theta_0 = \langle \varepsilon^\perp \rangle \operatorname{tg}(\theta_B). \quad (23)$$

На основе приведенной выше модели для исследуемых образцов были определены величины периода активной области и толщины слоев InGaN и GaN, а также значения деформации активной области относительно буферного слоя GaN (табл. 2).

Как видно из табл. 2, толщины слоев в активной области  $t_1$  и  $t_2$  для образца A (табл. 1), определенные с помощью предложенной методики анализа экспериментальных кривых качания и с помощью стандартного программного обеспечения рентгеновского дифрактометра BRUKER DISCOVER D8 (LEPTOS), находятся в удовлетворительном согласии.

Разработанная методика позволяет определить толщины  $t_1$  и  $t_2$  для образца C с более сложной кривой качания (рис. 4), поскольку образец C содержит в активной области слои InGaN, разделенные барьерами AlGaN, в отличие от образца A (табл. 1). Отсутствие рефлексов сверхструктуры на кривой качания образца B (рис. 3), по-видимому связанное с нарушением периодичности вдоль гексагональной оси  $c$ , а также с высокой дефектностью слоев, не позволило определить толщины  $t_1$  и  $t_2$ .

Величина средней концентрации In в слоях  $\text{In}_x\text{Ga}_{1-x}\text{N}$  в активной области образца A в соответствии с (23) [10] составила 10.5 at.%, что находится в хорошем согласии с данными LEPTOS, согласно которым эта величина в активной области является градиентной и изменяется от 11 до 18 at.%. Средняя концентрация In в слоях  $\text{In}_x\text{Ga}_{1-x}\text{N}$  образца B в соответствии с (23) составила 18.5 at.%. Как и при расчете толщин  $t_1$  и  $t_2$ , для образца B не удается определить среднюю концентрацию индия с помощью LEPTOS.

Таким образом, приведенная методика позволяет получать структурные параметры, такие как период и толщины слоев, а также значения деформации активной области относительно буферного слоя GaN из анализа сложных кривых качания.

#### 4. Модель для описания энергии электронных переходов

Анализ положения максимума ФЛ в структурах с ультратонкими слоями  $\text{In}_x\text{Ga}_{1-x}\text{N}$  был выполнен в рамках модели, которая описывает энергию перехода как функцию толщины слоя  $\text{In}_x\text{Ga}_{1-x}\text{N}$  с учетом эффектов квантового ограничения, спонтанного и пьезоэлектрических полей при различном составе индия [11]. Выражение для энергии электронных переходов имеет вид

$$E_{\text{tr}} = E_g + E_{\text{conf}} - E_p, \quad (24)$$

где  $E_g$  — энергия ширины запрещенной зоны объемного  $\text{In}_x\text{Ga}_{1-x}\text{N}$ ,  $E_p$  — энергия поля поляризации,  $E_{\text{conf}}$  — энергия квантового ограничения.

Модель включает в себя энергию квантового ограничения и поля поляризации, которые учитывают три основных параметра структуры, содержащей квантовые точки (КТ)  $\text{In}_x\text{Ga}_{1-x}\text{N}$  [2,3], а именно размер КТ, деформацию, возникающую между слоями  $\text{In}_x\text{Ga}_{1-x}\text{N}$  и буфером GaN, а также спонтанную и пьезополяризацию.

Для оценки энергии квантового ограничения была использована сферически-симметричная модель КТ, предложенная Бруском для расчета КТ CdS [12]. В этой модели величина энергии квантового ограничения определяется диаметром КТ, диэлектрическими постоянными и эффективными массами электронов и дырок

$$E_{\text{conf}} \cong \frac{\hbar^2 \pi^2}{2m^* r^2} - \frac{1.8e^2}{4\pi\epsilon\epsilon_0 r} - \frac{0.124e^4}{\hbar^2 m^* (4\pi\epsilon\epsilon_0)^2}, \quad (25)$$

где  $m^* = (m_e^{-1} + m_h^{-1})^{-1}$  — приведенная эффективная масса,  $r$  — радиус КТ,  $\hbar$  — постоянная Планка,  $\epsilon_0$  — диэлектрическая постоянная вакуума,  $e$  — элементарный заряд электрона [13].

Наличие спонтанного и пьезоэлектрического полей является специфическим свойством III-нитридных материалов, выращенных вдоль оси  $c$ , за счет гексагональной симметрии. Полная энергия поляризации  $E_p$ , которая включает в себя спонтанную поляризацию ( $P^{SP}$ ) и

пьезополяризацию, была рассчитана в соответствии с моделью [14]

$$E_p = eF^{(QW)}l_{QW}, \quad (26)$$

где напряженность внутреннего поля поляризации слоя  $\text{In}_x\text{Ga}_{1-x}\text{N}$  толщиной  $l_{QW}$

$$F^{(n)} = \frac{A^{(n)} \sum_q l^{(q)} C^{(q)} B^{(q)} - C^{(n)} \sum_q l^{(q)} A^{(q)} / B^{(q)}}{B^{(n)} \sum_q l^{(q)} C^{(q)} / B^{(q)}}, \quad (27)$$

где

$$A = 2\varepsilon_{\parallel}(C_{13}e_{33} - C_{33}e_{31}) - C_{33}P^{SP},$$

$$B = C_{33}\varepsilon_{33} + e_{33}^2, \quad C = C_{33}.$$

Компоненты тензора деформации  $\varepsilon_{\perp}$  и  $\varepsilon_{\parallel}$ , перпендикулярные и параллельные плоскости слоя  $\text{In}_x\text{Ga}_{1-x}\text{N}$ , связаны соотношением

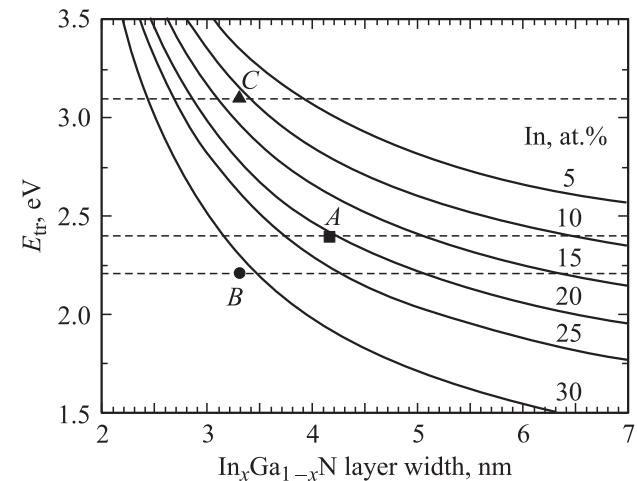
$$\varepsilon_{\perp} = -2\varepsilon_{\parallel} \frac{C_{13}}{C_{33}}. \quad (28)$$

Значения упругих постоянных  $C_{ij}$ , пьезопостоянных  $e_{ki}$ , эффективные массы электрона  $m_e$ , тяжелой дырки  $m_h$ , диэлектрическая постоянная  $\varepsilon$  твердого раствора  $\text{In}_x\text{Ga}_{1-x}\text{N}$  в выражениях (25)–(28) были получены линейной экстраполяцией в соответствии с законом Вегарда (табл. 3). Зависимость энергии ширины запрещенной зоны как функции локального состава твердого раствора  $\text{In}_x\text{Ga}_{1-x}\text{N}$  определяется в виде

$$E_g^{\text{InGaN}} = xE_g^{\text{InN}} + (1-x)E_g^{\text{GaN}} - b(1-x)x, \quad (29)$$

где  $b = 1.9 \text{ eV}$  — параметр аппроксимации [13].

На рис. 5 приведена расчетная зависимость энергии перехода  $E_{\text{tr}}$  (24) от толщины слоя  $\text{In}_x\text{Ga}_{1-x}\text{N}$  при различном содержании In в твердом растворе. Как следует из рис. 5, экспериментальные величины положения максимума ФЛ (рис. 5, штриховые линии), а также толщин слоев и средней концентрации индия в



**Рис. 5.** Расчетная зависимость энергии перехода от толщины слоя  $\text{In}_x\text{Ga}_{1-x}\text{N}$  при различном содержании In в твердом растворе для образцов A, B и C.

твердом растворе  $\text{In}_x\text{Ga}_{1-x}\text{N}$ , определенные из HRXRD (рис. 2–4), в образцах A, B и C находятся в удовлетворительном согласии с расчетными зависимостями энергии перехода  $E_{\text{tr}}$  от толщины слоя. Для образцов B и C величина толщины слоя  $\text{In}_x\text{Ga}_{1-x}\text{N}$  была получена в соответствии с данными просвечивающей электронной микроскопии и составила 3.3 нм [15].

Установлено, что экспериментально определенные величины положения максимума ФЛ, толщин слоев и концентрации индия в твердом растворе  $\text{In}_x\text{Ga}_{1-x}\text{N}$  находятся в удовлетворительном согласии с расчетной зависимостью энергии перехода от толщины слоя.

## 5. Заключение

В работе проведено исследование методами фотолюминесценции и рентгеновской дифракции высокого разрешения многослойных структур на основе соединений  $\text{InGaN}/\text{GaN}$ , излучающих в широком спектральном диапазоне от 1.23 до 2.21 еВ. Определен период, толщины слоев и состав твердого раствора  $\text{In}_x\text{Ga}_{1-x}\text{N}$  в активной области. Разработан способ анализа экспериментальных кривых качания многослойных структур в рамках модели Паррата–Спериози, который позволяет уточнить структурные параметры и определить деформацию активной области.

Экспериментальные величины деформации активных областей для исследуемых образцов были использованы для расчета энергии поля поляризации. Получена расчетная зависимость энергии электронных переходов как функция толщин слоев InGaN с учетом энергий квантового ограничения и энергий спонтанной и пьезополяризации.

Показано, что экспериментальные значения положений максимумов фотолюминесценции согласуются с расчетными значениями энергий электронных переходов

**Таблица 3.** Параметры бинарных соединений GaN, InN [13]

Параметр	GaN	InN
$a, \text{\AA}$	3.189	3.545
$c, \text{\AA}$	5.185	5.703
$E_g, \text{eV}$	3.51	0.69
$m_e$	$0.18m_0$	$0.14m_0$
$m_h$	$1.61m_0$	$1.68m_0$
$\varepsilon$	10.4	14.6
$P^{SP}, \text{C/m}^2$	-0.034	-0.042
$e_{31}, \text{C/m}^2$	-0.3	-0.55
$e_{33}, \text{C/m}^2$	1.3	0.95
$C_{11}, \text{GPa}$	390	223
$C_{12}, \text{GPa}$	145	115
$C_{13}, \text{GPa}$	106	92
$C_{33}, \text{GPa}$	398	224
$C_{44}, \text{GPa}$	105	48

в рамках использованной модели, основанной на экспериментальных структурных параметрах.

Авторы благодарят М.А. Яговкину за проведение измерений методом рентгеновской дифракции высокого разрешения на оборудовании Северо-Западного регионального Центра коллективного пользования „Материаловедение и диагностика в передовых технологиях“.

## Список литературы

- [1] T. Witaker. LEDs magazine. Technology and application of light emitting diodes **13**, 20 (2007).
- [2] D.S. Sizov, V.S. Sizov, G.E. Onushkin, V.V. Lundin, E.E. Zavarin, A.F. Tsatsul'nikov, N.N. Ledentsov. Nanostructures physics and technology. St. Petersburg (2005). P. 294.
- [3] С.О. Усов, А.Ф. Цапульников, В.В. Лундин, А.В. Сахаров, Е.Е. Заварин, Н.Н. Леденцов. ФТП **42**, 2, 187 (2008).
- [4] V.S. Speriosu, T. Vreeland, Jr. J. Appl. Phys. **56**, 1591 (1984).
- [5] L.G. Parratt. Phys. Rev. **95**, 359 (1954).
- [6] Р.Н. Кютт, М.Л. Щеглов, В.Ю. Давыдов, А.С. Усиков. ФТП **46**, 2, 353 (2004).
- [7] L. Gorgens, O. Ambacher, M. Stutzmann, C. Miskys, F. Scholz, J. Off. Appl. Phys. Lett. **76**, 577 (2000).
- [8] S. Pereira, M.R. Correira, T. Monteiro, E. Pereira, E. Alves, A.D. Sequeira, N. Franco. Appl. Phys. Lett. **78**, 2137 (2001).
- [9] S. Pereira, M.R. Correira, E. Pereira, K.P. O'Donnell, E. Alves, A.D. Sequeira, N. Franco, I.M. Watson, C.J. Deatcher. Appl. Phys. Lett. **80**, 3913 (2002).
- [10] L.T. Romano. Appl. Phys. Lett. **73**, 1757 (1998).
- [11] Yen-Lin Lai, Chau-Pu Liu. Appl. Phys. Lett. **86**, 121915/1-3 (2005).
- [12] L.E. Bruce. J. Chem. Phys. **80**, 4403 (1984).
- [13] I. Vurgaftman, J.R. Meyer, L.R. Ram-Mohan. Appl. Phys. Lett. **89**, 5815 (2001).
- [14] U.M.E. Christmas, A.D. Andreev, D.A. Faux. J. Appl. Phys. **98**, 073522/1-12 (2005).
- [15] S.O. Usov, A.F. Tsatsul'nikov, V.V. Lundin, A.V. Sakharov, E.E. Zavarin, D.S. Sizov, Yu.G. Musikhin, N.A. Bert, E.M. Arakcheeva, N.N. Ledentsov. Semicond. Sci. Technol. **22**, 528 (2007).